

## کانی‌شناسی و تعیین محیط تکتونوماگمایی سنگ‌های نیمه عمیق شمال شهرکرد با استفاده از شیمی کانی‌های کلینوپیروکسن

زهرا الیاسی<sup>۱</sup>، سید نعیم امامی<sup>۲</sup>، علی خان نصر اصفهانی<sup>۱</sup>، بابک وهابی مقدم<sup>۱</sup>

۱- دانشگاه آزاد اسلامی واحد خوارسگان

۲- مرکز تحقیقات کشاورزی و منابع طبیعی استان چهارمحال و بختیاری

(دریافت مقاله: ۸۹/۱/۱۵، نسخه نهایی: ۸۹/۵/۱۷)

**چکیده:** سنگ‌های نیمه عمیق شمال شهرکرد واقع در جنوب غربی ایران، در پهنه‌ی زمین‌ساختی سنندج-سیرجان به صورت دایک‌های بازی رخنمون یافته‌اند. ترکیب این سنگ‌ها دولریتی بوده و دارای بافت‌های ویژه‌ای همچون اینترگرانولار، اینتر سرتال، افیتیک و پوئی کلیتیک هستند. کانی‌های اصلی تشکیل دهنده‌ی عبارتند از پلاژیوکلاز و کلینوپیروکسن و دیگر کانی‌های موجود در آن‌ها از کانی‌های ثانویه از جمله سریسیت، کلریت، کلسیت و به میزان کمتر اپیدوت، زوئیزیت، اسفن و کانی‌های فرعی مثل آپاتیت، مگنتیت، تیتانومگنتیت و ایلمنیت تشکیل شده‌اند. کلینوپیروکسن‌های موجود در دولریت‌ها، شامل اوزیت و دیوپسید به صورت فازهای کانیابی جداگانه و یا تنوع ترکیبی از اوزیت در مرکز تا دیوپسید در حاشیه‌ی یک فاز دیده می‌شوند. شواهد ژئوشیمیابی و کانی‌شناسی دلالت بر ماهیت تولئیتی دایک‌های منطقه دارد. بر اساس نمودارهای جدایشی محیط‌های ژئوتکتونیکی مبتنی بر شیمی کانی کلینوپیروکسن، سنگ‌های نیمه عمیق مورد بررسی در یک محیط کشش متعاقب فرورانش تشکیل شده‌اند. براین اساس، می‌توان ماقماتیسم مورد بررسی در این منطقه را به فاز کوهزاوی سیمرین میانی تا فوقانی به سن ژوراسیک فوکانی تا کرتاسه تحتانی نسبت داد که سنگ‌های نیمه عمیق به مراحل انتهایی این رخداد وابسته‌اند.

**واژه‌های کلیدی:** تکتونوماگماتیسم؛ زون سنندج-سیرجان؛ شهرکرد؛ نیمه عمیق؛ کلینوپیروکسن.

میزان دایک‌های منطقه محسوب می‌شوند، با مساحت تقریبی ۲۰۰ کیلومترمربع در حدفاصل گسل‌های بن (یا شمالی رخ) در جنوب و گسل دالان در شمال استقرار یافته است. این سنگ‌ها بیشتر شامل سنگ‌های آتشفسانی بازالتی، بازالت آندزیتی و آندزیت همراه با معادلهای آذر آواری آن‌ها مشتمل بر توف‌های لایه‌دار، لاپیلی توف‌ها و برش‌های آتشفسانی بوده که هم زمان و پس از ماسه سنگ‌ها و سیلت سنگ‌های ژوراسیک میانی (احتمالاً سازند هجدک) در یک محیط زیر دریابی کم عمق تا نیمه عمیق فوران یافته‌اند. هم زمان و کمی پس از شروع فوران و سرد شدن بخشی دنباله‌ی آتشفسانی با ترکیب بازالتی، با ایجاد یک محیط کششی پشت کمانی، توده‌های

### مقدمه

پهنه‌ی زمین ساختی سنندج-سیرجان به دلیل فراوانی رخدادهای دگرگونی، ماقماتیسم و زمین ساختی پی در پی و هماهنگ با فازهای زمین‌ساختی شناخته شده در مقیاس جهانی نسبت به پهنه‌های زمین‌ساختی دیگر ایران، پویاترین زون ایران است [۱]. این پهنه در شمال شهرکرد، با دو رخساره‌ی سنگ چینه شناسی شامل رخساره‌ی دگرگونی در نواحی مجاور سد زاینده رود و رخساره‌ی آتشفسانی-رسوبی در جنوب سد زاینده رود و منطقه‌ی سیاحتی سامان متمایز شده است [۴-۲].

**مجموعه سنگ‌های آتشفسانی-رسوبی منطقه که سنگ**

\*نویسنده مسئول، تلفن: ۰۹۱۳۳۸۴۰۶۱۵، نامبر: ۰۳۸۱-۳۳۳۴۶۹۳، پست الکترونیکی: Eliasi57@yahoo.com

ترسیم نمودارهای مختلف از نرم افزارهای MinPet 2.02 و Igpet 2007 CorelDRAWX4 استفاده شد.

در ادامه با استفاده از نمودارهای تشخیص محیط ماغماهی زمین ساختی ارائه شده از سوی پژوهشگران دیگر، بر پایه‌ی ترکیب شیمیایی کلینوپیروکسن‌ها، محیط زمین ساختی سنگ‌های نیمه عمیق مورد بررسی تعیین شدند.

#### موقعیت جغرافیایی و زمین‌شناسی عمومی منطقه

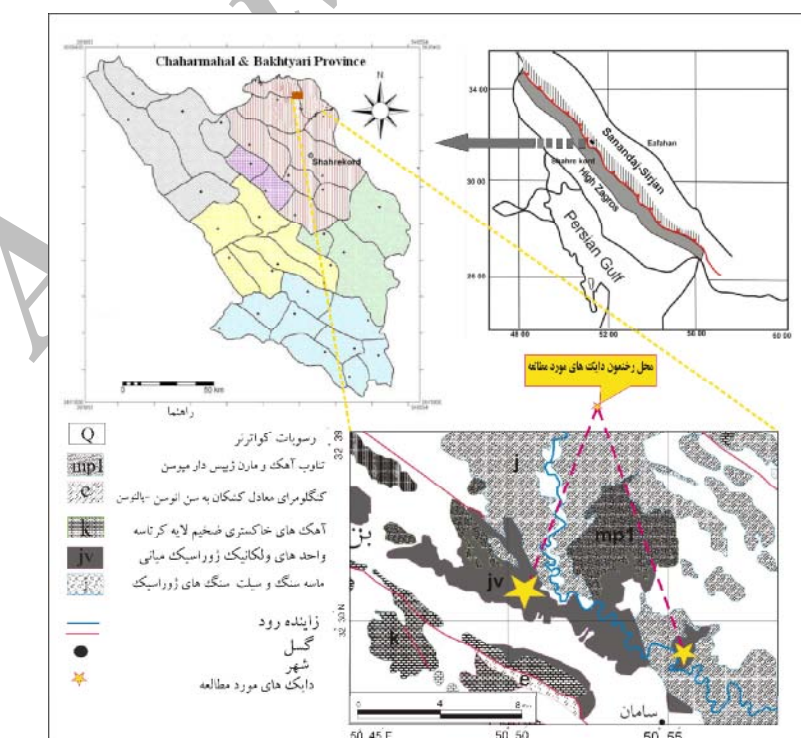
سنگ‌های نیمه عمیق مورد بررسی نوار آتشفشاری - رسویی شمال شهرکرد [۶،۵] در دو منطقه شامل، درازده بین با مختصات جغرافیایی "۳۶° و ۴۸' و ۵۰' تا "۴۰° و ۵۱' و ۵۰° طول شرقی و "۱۷° و ۳۱' و ۳۲° تا "۱۴° و ۳۱' و ۳۲° عرض شمالی و روستای چلوان با مختصات جغرافیایی "۳۰° و ۵۵' و ۵۰' تا "۱۰° و ۵۵' و ۵۰° طول شرقی و "۴۷° و ۲۸' و ۳۲° تا "۱۷° و ۳۱' و ۳۲° عرض شمالی به صورت دایک‌هایی با راستای شمال غربی- جنوب شرقی رخنمون دارند (شکل ۱). هر دو منطقه، جزئی از زون ساختاری سندنج- سیرجان محسوب می‌شوند و بین دو گسل بن و دالان در جنوب و شمال محصور شده و گسل شیدا از مرکز منطقه با راستای موازی دو گسل پیش گفته یعنی شمال غربی- جنوب شرقی عبور می‌کند. هر سه گسل از نوع وارون، با راستای یاد شده بوده که جز گسل شیدا بقیه‌ی آن‌ها به سمت شمال شرقی شیب دارند [۸].

نیمه عمیق به شکل دایک و استوک‌های بازیک و ترکیب دولریتی درون مجموعه‌ی مافیک نفوذ کرده است [۵،۶].

با توجه به این که تا کنون بررسی‌های سنگ‌شناسی فراگیری روی سنگ‌های نیمه عمیق شمال شهرکرد صورت نگرفته و تنها وجود دایک‌های بازی و حدواسط گزارش شده است [۷-۵]، در این پژوهش با به کارگیری روش‌های ریزپردازشی به معرفی دقیق کانی‌شناسی این مجموعه‌های نیمه عمیق پرداخته می‌شود.

#### روش بررسی

به منظور دست یابی به هدف‌های این پژوهش، پس از بررسی پژوهش‌های پیشین در سطح منطقه و تهیه‌ی نقشه‌ی زمین‌شناسی گستره مورد نظر با تأکید بر رخنمون‌های نیمه عمیق، بررسی‌های صحرابی و نمونه برداری انجام گرفت. سپس مقاطع نازک تهیه و با استفاده از میکروسکوپ نوری (Olympus) بررسی صورت گرفت. در مرحله‌ی بعد نمونه‌های منتخب از سنگ‌های نیمه عمیق سالم برای ICP-ES و ICP-MS به آزمایشگاه AcmeLabs کانادا و مقاطع نازک منتخب نیز برای آنالیز ریزپردازشی الکترونی (EPMA) و تعیین شیمی کانی‌های اصلی سنگ‌های دولریتی مورد بررسی به دانشگاه اوکلاهمانورمن آمریکا و نیز برای آنالیز نقطه‌ای (SEM) به سازمان زمین‌شناسی و اکتشافات معدنی کشور ارسال شدند. در



شکل ۱ موقعیت زمین ساختی منطقه مورد بررسی در ایران و نقشه زمین‌شناسی آن [۶].

نیز غالباً توف، توفیت، لایلی توف و آگلومرا هستند. سن سنگ‌های آتشفشاری منطقه حداصل پهنه‌های کالوین (دوگر فوقانی) تا تیتونین (مالم فوقانی) بوده [۵,۶] و دایک‌های مورد بررسی پس از آن و احتمالاً در کرتاسه تحتنی درون این مجموعه سنگ‌های آتشفشاری نفوذ کرده‌اند. بدین ترتیب پدیده‌ی ماقماتیسم منطقه به فاز کوهزایی سیمیرین میانی تا سیمیرین پایانی وابسته است.

**سنگ شناسی و شیمی کانی‌ها**  
بر اساس نتایج آنالیزهای ICP-ES و ICP-MS (جدول ۱) و تفسیر آن، (شکل ۲) دایک‌های یاد شده دارای ترکیب بازالتی بوده و بین سنگ‌های آذرین منطقه رخنمون یافته‌اند. سنگ‌های آذرین منطقه به دو بخش مهم ماقمایی و آذر آواری تفکیک شده‌اند که گروه اول شامل سنگ‌های آتشفشاری به ویژه بازالت، بازالت آندزیتی و آندزیت و سنگ‌های آذر آواری

جدول ۱ تجزیه شیمیایی سنگ‌های منطقه به روش ICP-MS و ICP-ES

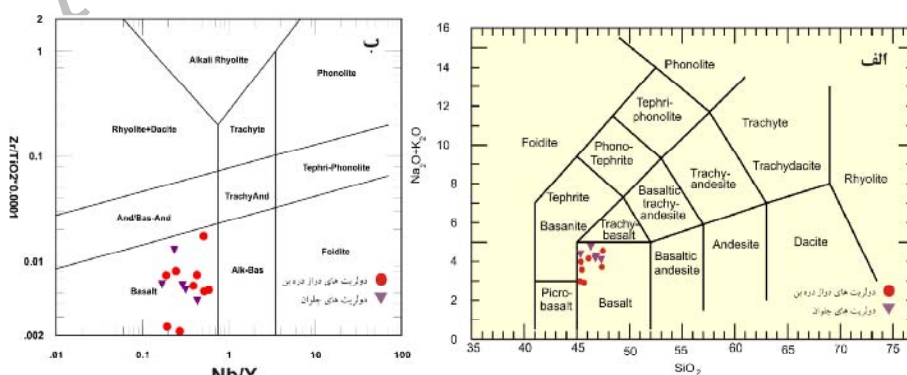
Samples No.	درآزده بین						
	D19	D16	D10-1	D8	D7	D3	D48
Rock	D	D	D	D	D	D	D
SiO <sub>2</sub> (wt%)	۴۱,۵۴	۴۵,۴۴	۴۴,۲۸	۴۶,۶	۴۷,۴۷	۴۵,۷	۴۶,۸۵
TiO <sub>2</sub>	۱,۱۸	۲,۰۲	۱,۷۸	۲,۲۴	۲,۳۵	۲,۳۶	۲,۵۵
Al <sub>2</sub> O <sub>3</sub>	۸,۸۴	۸,۴۳	۱۰,۶۷	۸,۷۷	۱۴,۲۱	۷,۹۷	۱۶,۰۸
Fe <sub>2</sub> O <sub>3</sub> (t)	۱۴,۳۲	۲۱,۳۱	۲۰,۸۶	۱۹,۱۱	۱۲,۲۹	۲۰,۴۲	۱۲,۱۱
MgO	۷,۹۵	۴,۷۵	۷,۶۵	۴,۶۸	۴,۶۸	۵,۸۳	۴,۹۷
CaO	۱۱,۵۸	۷,۹۴	۴,۶۳	۸,۶۸	۷,۹۵	۹,۷۲	۸,۱
MnO	۰,۲	۰,۳۲	۰,۲۷	۰,۲۷	۰,۲	۰,۳۱	۰,۲۱
Na <sub>2</sub> O	۱,۸۲	۲,۶۴	۲,۶۷	۳,۲۲	۲,۶۵	۲,۴۴	۲,۹
K <sub>2</sub> O	۱,۸۲	۱,۲۹	۰,۵۵	۰,۷۸	۰,۹۱	۰,۴۹	۰,۶
P <sub>2</sub> O <sub>5</sub>	۰,۲۸	۲,۳۹	۰,۷۹	۲,۷	۱,۲۴	۱,۷	۰,۵۳
LOI	۱۱,۶۲	۳,۱۸	۰,۰۸	۲,۶۸	۴,۷۸	۲,۸۱	۲,۹
SUM	۱۰۱,۱۵	۹۹,۷۱	۹۹,۷۳	۹۹,۷۳	۹۹,۷۳	۹۹,۷۵	۹۹,۸۱
Sc(ppm)	۳۲,۵	۲۲,۳	۳۵,۷	۲۱,۹	۲۱,۵	۲۷,۵	۳۲
Hf	۰,۸۴	۲,۸۱	۰,۸۹	۳,۵۸	۱,۳۴	۳,۳۳	۰,۳
Nb	۳,۲۸	۲۷,۶۱	۱۰,۹۲	۲۳,۲	۲۶,۴	۲۳,۴۶	۱۱,۸
Sr	۲۸,۵	۳۷۲	۲۵۴	۲۶۲	۱۱۳	۵۶۲	۳۰۰,۳
Ta	۰,۲	۱,۴	۰,۶	۱,۲	۱,۴	۱,۲	۰,۸
Th	۰,۴	۱,۸	۱	۱,۷	۲,۱	۱,۵	۱,۷
Zr	۲۸,۴	۱۰۸,۵	۳۸,۸	۱۳۶,۱	۴۵,۷	۱۲۳,۱	۲۰۶,۸
Y	۱۷	۴۶,۸	۴۰,۴	۴۵,۲	۴۰,۷	۴۵	۴۸,۱
La	۶,۹	۳۲,۳	۱۶,۶	۳۲,۸	۳۳,۵	۲۵,۵	۱۶,۳
Ce	۱۷,۶	۷۳,۵۸	۳۹,۸۷	۷۶,۱۸	۷۶,۵۳	۵۹,۴۶	۳۹,۹
Pr	۲,۶	۱۰,۴	۵,۹	۱۰,۶	۱۱,۲	۸,۶	۵,۸۲
Nd	۱۲,۷	۴۸,۴	۲۶	۴۸,۴	۴۸,۴	۴۰,۵	۲۶,۷
Sm	۳۲	۱۰	۵,۸	۱۰,۲	۹,۸	۸,۵	۶,۷۶
Eu	۱,۲	۳,۹	۱,۵	۴	۳,۱	۳,۲	۲,۲۸
Gd	۳,۵	۱۱	۶,۸	۱۱,۸	۱۰,۸	۱۰	۷,۸۴
Tb	۰,۶	۱,۷	۱,۲	۱,۷	۱,۶	۱,۵	۱,۴۷
Dy	۳,۵	۱۰,۷	۸,۵	۱۰,۷	۹,۸	۹,۸	۷,۶۴
Ho	۰,۷	۲	۱,۷	۲	۱,۸	۱,۹	۱,۵۳
Er	۱,۹	۴,۷	۴,۴	۴,۹	۴	۴,۵	۴,۵۶
Tm	۰,۲	۰,۵	۰,۵	۰,۶	۰,۴	۰,۶	۰,۷۳
Yb	۱,۵	۳,۵	۰,۳	۳,۶	۲,۶	۳,۶	۴,۲۲
Lu	۰,۲	۰,۴	۰,۴	۰,۵	۰,۳	۰,۵	۰,۶۴
Ba	۴۰	۴۷۶	۱۵۵	۲۷۸	۲۱۶	۱۹۹	۱۲۱,۲
Ta	۰,۲	۱,۴	۰,۶	۱,۲	۱,۴	۱,۲	۰,۸
V	۲۰,۸	۱۲۴	۳۵۸	۱۳۰	۱۰,۷	۲۹۷	۲۷۲

D = دولریت

## ادامه جدول ۱

Samples No.	روستای جلوان						
	D561	D562	D22	Ch11	Ch24	Ch4	Ch33
Rock	D	D	D	D	D	D	D
SiO <sub>2</sub> (wt%)	۴۷,۱۴	۴۶,۵۴	۴۴,۵۲	۴۵,۲۳	۴۷,۳۸	۵۰,۱۹	۴۶,۴۲
TiO <sub>2</sub>	۲,۹۲	۲,۸۶	۲,۹۶	۲,۸۲	۱,۷۱	۰,۶۵	۲,۲۸
Al <sub>2</sub> O <sub>3</sub>	۱۳,۹۹	۱۴,۹۲	۱۳,۸۷	۹,۱۶	۹,۴	۱۴,۶	۱۴,۹۲
Fe <sub>2</sub> O <sub>3</sub> (t)	۱۴,۵۶	۱۳,۶۲	۱۵,۸۸	۱۸,۷۲	۱۸,۸۹	۷,۱	۱۳,۸۲
MgO	۴,۹۹	۳,۴۴	۴,۸	۴,۸۷	۷,۲۴	۶,۶۵	۴,۰۸
CaO	۹,۳۲	۸,۱۹	۸,۷۴	۹,۴۶	۷,۹۳	۱,۳۸	۸,۱۸
MnO	۰,۲۴	۰,۲۳	۰,۲۶	۰,۲۷	۰,۲۶	۰,۱۲	۰,۲۲
Na <sub>2</sub> O	۳,۷۷	۴,۱۶	۳,۸۱	۲,۷۵	۲,۹۸	۴,۲۵	۴,۲۲
K <sub>2</sub> O	۰,۲۵	۱,۳۸	۰,۲۲	۱,۶۸	۰,۷۳	۰,۶	۰,۵۴
P <sub>2</sub> O <sub>5</sub>	۰,۴۵	۱,۱۸	۱,۰۸	۱,۹۶	۰,۹۴	۰,۲	۰,۵
LOI	۲,۳	۳,۲	۲,۸	۲,۷۳	۲,۲۲	۵,۲	۴,۰۹
SUM	۹۹,۹۵	۹۹,۷۳	۹۹,۹۶	۹۹,۶۵	۹۹,۷۸	۹۹,۹۴	۹۹,۴۷
Sc(ppm)	۲۳	۲۳	۳۴	۳۱,۲	۳۸,۵	۲۷,۲	۳۱,۹
Hf	۵,۴	۵,۶	۵,۵	۲,۲۹	۲,۹	۱,۱۷	۳,۵۸
Nb	۹,۶	۱۹,۸	۲۰,۹	۲۱,۴۴	۱۲,۳۵	۲,۶۷	۱۱,۹۹
Sr	۳۵۵,۵	۳۷۷,۷	۲۴۲,۴	۲۸,۶	۲۶۱	۲۲۵	۴۹۵
Ta	۰,۶	۱,۴	۱,۵	۱,۱	۰,۶	۰,۲	۰,۶
Th	۱,۵	۲,۴	۵,۹	۰,۹	۱	۳,۸	۰,۸
Zr	۲۱۶,۹	۲۱۳,۷	۲۲۳,۱	۱۱۹,۳	۲۰,۲	۳۹,۵	۱۲۷,۵
Y	۵۰,۹	۴۶	۵۳,۶	۴۹,۴	۴۲,۳	۱۵,۸	۳۷,۸
La	۱۳,۸	۲۵,۷	۲۲,۵	۲۴,۱	۱۶,۶	۱۰,۲	۱۳,۶
Ce	۳۵,۵	۵۹,۹	۵۵,۲	۵۸,۹۹	۳۹,۴۴	۲۳,۵۶	۳۳,۷۵
Pr	۵,۲۷	۸,۶۳	۸,۱۴	۸,۹	۵,۶	۳,۲	۵,۱
Nd	۲۵,۷	۴۰,۵	۳۹,۸	۴۱,۲	۲۶,۱	۱۲,۹	۲۴,۸
Sm	۷,۰۵	۹,۱۲	۹,۳۷	۹,۱	۵,۸	۲,۷	۵,۵
Eu	۲,۲۴	۳,۶۶	۳,۰۵	۲,۸	۱,۶	۰,۶	۲,۱
Gd	۸,۱۸	۹,۶۸	۱۰,۲۴	۱۱,۲	۷,۷	۳,۱	۷,۲
Tb	۱,۵۱	۱,۶۱	۱,۷۶	۱,۷	۱,۲	۰,۵	۱,۲
Dy	۷,۹۵	۸,۴۴	۹,۱۷	۱۰,۸	۸,۲	۲,۲	۸,۱
Ho	۱,۶۹	۱,۵۶	۱,۷۹	۱,۹	۱,۷	۰,۷	۱,۵
Er	۴,۸۷	۴,۲۳	۴,۸۸	۵,۳	۴,۴	۱,۹	۴
Tm	۰,۷۶	۰,۶۷	۰,۷۸	۰,۶	۰,۵	۰,۲	۰,۵
Yb	۴,۴۳	۳,۶۴	۴,۳۷	۰,۴	۳,۸	۱,۷	۳,۳
Lu	۰,۶۸	۰,۵۷	۰,۶۶	۰,۵	۰,۶	۰,۲	۰,۵
Ba	۶۷,۴	۶۹,۸,۵	۸,۴,۸	۱۹,۶	۱۱,۳	۱۶,۳	۱۲,۶
Ta	۰,۶	۱,۴	۱,۵	۱,۱	۰,۶	۰,۲	۰,۶
V	۲۲,۸	۱۱,۶	۳۰,۲	۳۱,۴	۳۱,۴	۱۹,۸	۳۲,۸

دولریت=D



شکل ۲ ردیبندی زئوژیمیایی و نام‌گذاری سنگ‌های منطقه مورد بررسی.

(الف) [۹] (ب) [۱۰]

الکترونی، دو نوع کلینوپیروکسن شامل اوژیت و دیوپسید در این سنگ‌ها وجود دارد که علاوه بر تشکیل کانی‌های مستقل، این دو ترکیب به صورت منطقه‌بندی نوسانی در برخی از سنگ‌های دولریتی مشاهده می‌شوند (شکل ۴).

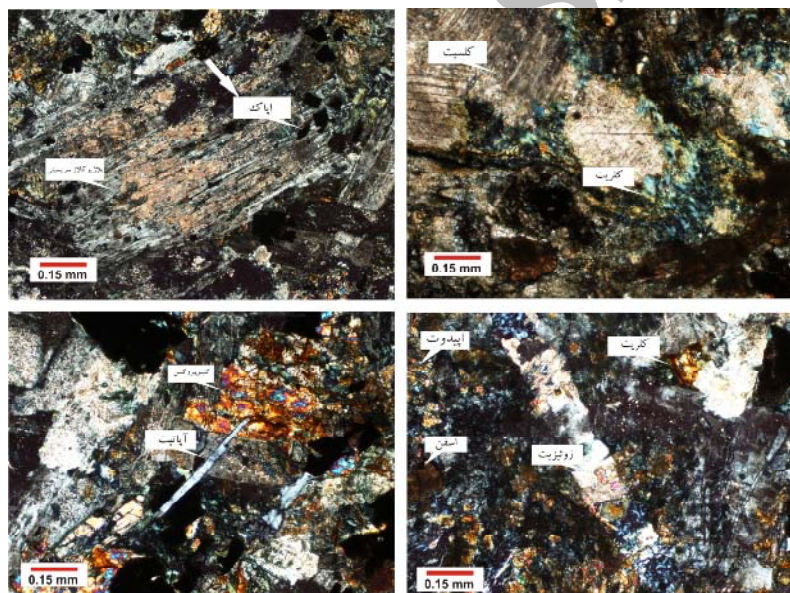


پیروکسن غالب در دایک‌های مورد بررسی، اوژیت می‌باشد. این کانی در نور طبیعی بی‌رنگ تا خاکستری پریده بوده و بیشتر دارای ساختار منطقه‌ای است. تغییر رنگ از منطقه‌ای به منطقه‌ی دیگر نادر بوده، چند رنگ خیلی ضعیف متمایل به سبز تا خاکستری پریده، زیاد قابل تمیز نیست. این کانی از دیدگاه خواص نوری دو محوری مثبت بوده و دارای خاموشی مایل با زوایای حدود ۳۵ تا ۴۸ درجه است.

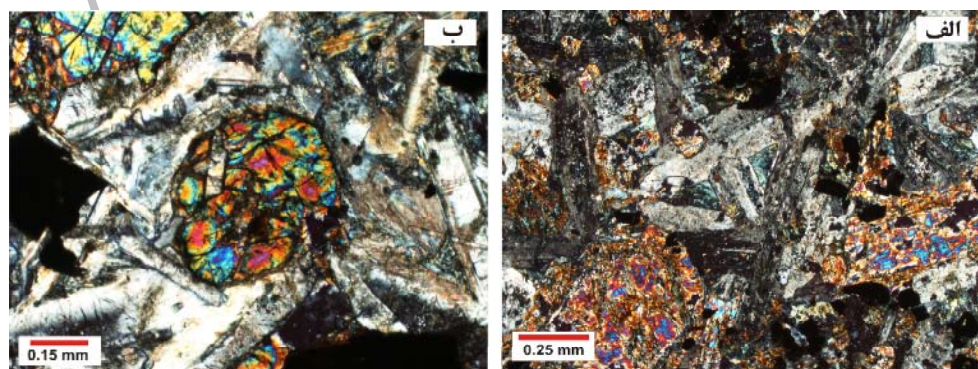
بر اساس بررسی‌های سنگ‌نگاری، کانی‌های اصلی تشکیل دهنده‌ی دولریت‌ها پلازیوکلаз و کلینوپیروکسن بوده که بافت‌های ویژه‌ی سنگ‌های نیمه عمیق همچون اینترگرانولار، اینترسرتال، افیتیک و شبه افیتیک و پوئی کلیتیک را نشان می‌دهند. در برخی نمونه‌ها، شواهدی از دگرسانی گرمابی متوسط تا شدید دیده شدن که موجب تشکیل کانی‌های ثانویه شامل سریسیت، کلریت و کلسیت و به میزان کمتر اپیدوت، زوئیزیت و در بعضی موارد اسفن شدن. آپاتیت، مگنتیت، تیتانومگنتیت و ایلمنیت نیز به عنوان کانی‌های فرعی در این سنگ‌ها به فراوانی مشاهده می‌شوند (شکل ۳).

#### کلینو پیروکسن‌ها

بر اساس بررسی‌های میکروسکوپی و نیز نتایج ریزپردازندۀ



شکل ۳ کانی‌های تشکیل دهنده‌ی دولریت‌های مورد بررسی و بافت نیمه عمیق این سنگ‌ها (XPL).



شکل ۴ درشت بلورهای کلینوپیروکسن‌های تمام شکل‌دار و نیمه شکل‌دار در دولریت‌های منطقه.

XPL (ب)

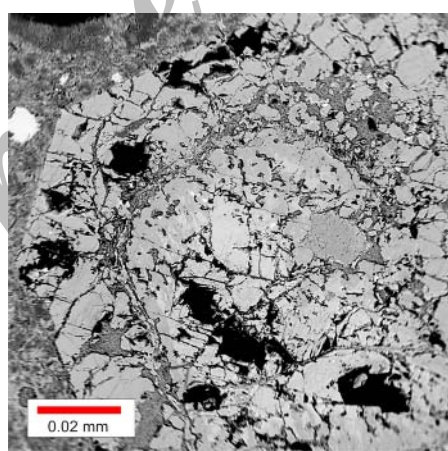
XPL (الف)

الکترونی از کلینوپیروکسن‌های غالب در سنگ‌های نیمه عمیق شمال شهرکرد ارائه شده‌اند. در شکل (۷) ترکیب شیمی‌کانی پیروکسن‌های هر نمونه به تفکیک در نمودارهای Q-J و نیز نمودار ترکیبی کلینوپیروکسن‌ها نشان داده شده است. در نمودار Q-J تمام پیروکسن‌ها در قلمرو  $Q_{\text{quad}}$  یعنی پیروکسن‌های کلسیم-منیزیم و آهن‌دار قرار گرفته‌اند. همچنین در نمودارهای ترکیبی نیز تمام کلینوپیروکسن‌ها در رأس وابسته به  $Q_{\text{quad}}$  قرار گرفته که نشانی از نفوذ کامل پیروکسن‌های کلسیم-منیزیم-آهن در سنگ‌های منطقه است. محاسبات انجام شده برای تعیین ترکیب پیروکسن‌ها، نشانگر آن است که در تمام نمونه‌های بررسی شده، ترکیب عضوهای انتهایی شامل انستابیت ( $\text{En}$ )، فروسیلیت ( $\text{Fo}$ ) و ولاستونیت ( $\text{Wo}$ ) بین  $En_{46.60}Fs_{7.85}Wo_{45.54}$  تا  $En_{41.64}Fs_{13.95}Wo_{44.40}$  است که مؤید دامنه کم تغییرات در حد فاصل میدان پایداری اوزیت تا دیوپسید بوده و بر این اساس پیشنهاد می‌شود که کلینو پیروکسن‌های موجود در سنگ‌های نیمه عمیق شمال شهرکرد را اوزیت دیوپسیدی بنامیم (شکل ۷).

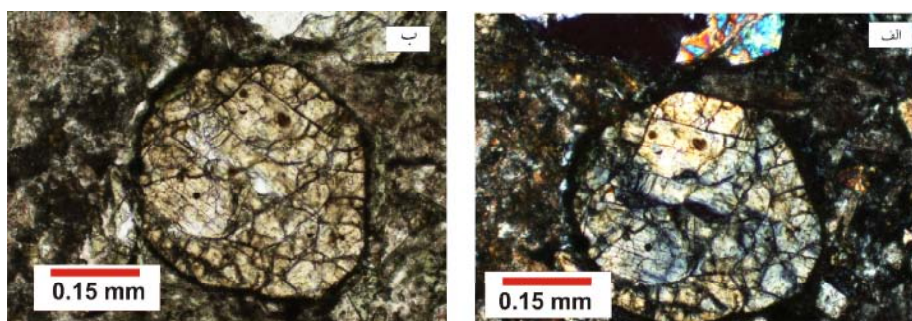
شکل ۵ بلور اوزیت را که با ریزپردازندۀ الکترونی تجزیه شده است، با بزرگ نمایی ۵۰ برابر نشان می‌دهد. بخش‌های روشن‌تر مرکز بلور دارای عدد منیزیم (Mg#) بالاتر (باترکیب اوزیت) و بخش حاشیه دارای عدد منیزیم پائین‌تری (با ترکیب دیوپسید) است.

### $\text{Ca}(\text{Mg}, \text{Fe})(\text{Si}_2\text{O}_6)$ دیوپسید

در مقاطع نازک، دیوپسید به صورت منشورهای پایه کوتاه، ستونی کشیده است. در مقاطع عرضی نیز به صورت قالبهای هشت وجهی است. کلیواژ در راستای سطوح {110} به خوبی دیده می‌شود. این کانی در نور معمولی بیرنگ بوده و در موارد مایل و با زاویه‌ای در حدود  $38^\circ$  تا  $48^\circ$  دیده می‌شود. این کانی در بیشتر نمونه‌ها به شکل عضو پایانی ناشی از منطقه‌بندی اوزیت‌ها در سنگ دیده می‌شود (شکل ۶). بر این اساس، کلینوپیروکسن‌های سنگ‌های نیمه عمیق مورد بررسی به صورت اعضای انتهایی از اوزیت - دیوپسید دیده می‌شوند. در جدول (۲) بخشی از نتایج بررسی‌های ریزپردازندۀ



شکل ۵ تصویر ریزپردازندۀ الکترونی اوزیت.



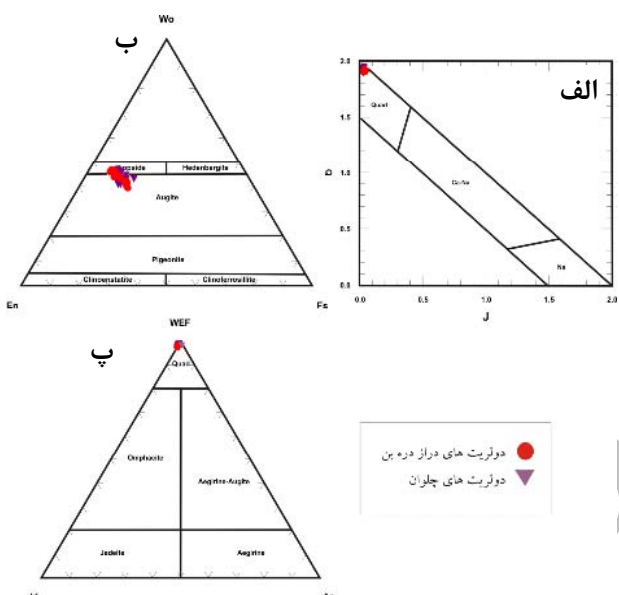
شکل ۶ درشت بلور (مگاکریست) دیوپسید در یک سنگ دولریتی. الف) XPL ب) PPL

جدول ۲ نتایج آنالیز ریز پردازندۀ الکترونی (EMPA) کلینوپیروکسن‌های دولریت‌های شمال شهرکرد.

Sample	روستای چلوان						
	Cpx203						
	Core1	Rim1	Core2	Rim2	Core3	Rim3	Core4
SiO <sub>2</sub>	۴۹,۹۰	۴۹,۰۳	۵۰,۰۵	۵۱,۹۶	۵۰,۳۷	۵۱,۵۶	۵۰,۴۰
TiO <sub>2</sub>	۰,۸۱	۰,۹۸	۰,۵۴	۰,۴۲	۰,۴۹	۰,۶۲	۰,۶۱
Al <sub>2</sub> O <sub>3</sub>	۴,۲۸	۵,۱۵	۴,۷۳	۲,۷۱	۴,۸۰	۲,۱۲	۴,۳۷
FeO(t)	۸,۲۶	۸,۶۳	۸,۸۰	۸,۳۲	۸,۱۴	۹,۸۷	۶,۷۱
MnO	۰,۲۶	۰,۲۰	۰,۲۱	۰,۲۰	۰,۱۳	۰,۳۰	۰,۱۷
MgO	۱۴,۲۷	۱۴,۴۱	۱۴,۷۸	۱۶,۱۱	۱۵,۰۴	۱۵,۴۱	۱۵,۲۹
CaO	۲۱,۱۷	۲۰,۵۴	۲۲,۱۵	۲۱,۶۰	۲۲,۴۲	۱۹,۸۳	۲۱,۸۷
Na <sub>2</sub> O	۰,۲۵	۰,۲۳	۰,۲۳	۰,۱۸	۰,۱۷	۰,۲۴	۰,۲۶
K <sub>2</sub> O	۰,۰۰	۰,۰۰	۰,۰۰	۰,۰۰	۰,۰۰	۰,۰۱	۰,۰۰
Total	۹۹,۲۰	۹۹,۱۸	۹۹,۴۹	۹۹,۴۹	۹۹,۵۵	۹۹,۹۶	۹۹,۵۹
Si	۱,۸۷۴	۱,۸۴۱	۱,۸۶۴	۱,۹۲۳	۱,۸۶۸	۱,۹۲۴	۱,۸۷۱
Ti	۰,۰۲۳	۰,۰۲۸	۰,۰۱۵	۰,۰۱۲	۰,۰۱۴	۰,۰۱۷	۰,۰۱۷
Al	۰,۱۹۰	۰,۲۲۸	۰,۲۰۸	۰,۱۱۸	۰,۲۱۰	۰,۰۹۳	۰,۰۱۹۱
Fe	۰,۲۵۹	۰,۲۷۱	۰,۲۱۲	۰,۱۹۶	۰,۱۹۰	۰,۲۰۸	۰,۲۰۸
Mn	۰,۰۰۸	۰,۰۰۷	۰,۰۰۷	۰,۰۰۸	۰,۰۰۴	۰,۰۰۹	۰,۰۰۵
Mg	۰,۷۹۹	۰,۸۰۷	۰,۸۲۱	۰,۸۸۹	۰,۸۳۱	۰,۸۵۷	۰,۸۴۶
Ca	۰,۸۵۲	۰,۸۲۷	۰,۸۸۴	۰,۸۵۶	۰,۸۹۱	۰,۷۹۳	۰,۸۶۶
Na	۰,۰۱۹	۰,۰۱۷	۰,۰۱۷	۰,۰۱۳	۰,۰۱۲	۰,۰۱۷	۰,۰۱۹
K	۰,۰۰۰	۰,۰۰۰	۰,۰۰۰	۰,۰۰۰	۰,۰۰۰	۰,۰۰۰	۰,۰۰۰
جمع کاتیون‌ها	۴,۰۲۳	۴,۰۲۴	۴,۰۲۷	۴,۰۱۲	۴,۰۲۰	۴,۰۲۰	۴,۰۲۵
Fs	۱۳,۹۵۴	۱۴,۵۱۹	۱۱,۳۵۹	۱۰,۳۶۸	۱۰,۱۴۷	۱۶,۱۳۶	۱۱,۰۹۳
Wo	۴۴,۰۴۲	۴۳,۲۵۷	۴۵,۹۶۵	۴۳,۹۸۶	۴۶,۴۷۴	۴۰,۲۶۵	۴۴,۹۷۶
En	۴۱,۶۴۴	۴۲,۲۲۴	۴۲,۶۷۶	۴۵,۶۴۶	۴۳,۳۷۸	۴۳,۵۶۹	۴۳,۹۲۱

## ادامه جدول ۲

Sample	روستای چلوان		درازدره بن					
	Cpx203		Cpx228					
	Rim4	Cpx1	Cpx2	Core2	Rim2	Core3	Rim3	
SiO <sub>2</sub>	۵۰,۶۶	۵۰,۷۲	۵۰,۳۵	۵۰,۸۰	۵۰,۴۲	۵۱,۴۲	۵۰,۹۶	
TiO <sub>2</sub>	۰,۳۳	۰,۵۵	۰,۹۸	۰,۵۰	۰,۹۱	۰,۴۳	۰,۹۴	
Al <sub>2</sub> O <sub>3</sub>	۲,۷۹	۳,۷۱	۳,۳۴	۴,۴۱	۳,۳۰	۴,۱۷	۲,۸۳	
FeO(t)	۹,۹۹	۶,۸۵	۹,۷۱	۴,۷۲	۹,۳۶	۴,۸۶	۹,۱۲	
MnO	۰,۶۳	۰,۱۸	۰,۳۲	۰,۱۱	۰,۲۷	۰,۱۱	۰,۲۸	
MgO	۱۳,۶۰	۱۵,۲۲	۱۵,۱۵	۱۵,۸۹	۱۵,۰۴	۱۶,۱۸	۱۵,۰۳	
CaO	۲۰,۵۱	۲۱,۲۹	۱۹,۴۶	۲۲,۶۴	۱۹,۸۹	۲۲,۳۴	۲۰,۲۸	
Na <sub>2</sub> O	۰,۳۴	۰,۳۱	۰,۳۱	۰,۱۹	۰,۳۱	۰,۱۹	۰,۲۹	
K <sub>2</sub> O	۰,۰۱	۰,۰۰	۰,۰۰	۰,۰۰	۰,۰۱	۰,۰۰	۰,۰۰	
Total	۹۸,۸۴	۹۹,۰۳	۹۹,۷۱	۹۹,۳۱	۹۹,۵۹	۹۹,۷۰	۹۹,۷۳	
Si	۱,۹۲۱	۱,۸۹۴	۱,۸۸۱	۱,۸۷۷	۱,۸۹۱	۱,۸۹۴	۱,۹۰۴	
Ti	۰,۰۱۰	۰,۰۱۵	۰,۰۲۸	۰,۰۱۴	۰,۰۲۶	۰,۰۱۲	۰,۰۲۶	
Al	۰,۱۲۵	۰,۱۶۳	۰,۱۴۸	۰,۱۹۲	۰,۱۴۶	۰,۱۸۱	۰,۱۲۵	
Fe	۰,۳۱۷	۰,۲۱۴	۰,۳۰۴	۰,۱۴۶	۰,۲۹۴	۰,۱۵۰	۰,۲۸۵	
Mn	۰,۰۲۰	۰,۰۰۶	۰,۰۱۰	۰,۰۰۳	۰,۰۰۹	۰,۰۰۳	۰,۰۰۹	
Mg	۰,۷۶۹	۰,۸۵۳	۰,۸۴۹	۰,۸۷۵	۰,۸۴۰	۰,۸۸۸	۰,۸۳۷	
Ca	۰,۸۳۳	۰,۸۵۲	۰,۷۸۲	۰,۸۹۷	۰,۷۹۹	۰,۸۸۱	۰,۸۱۲	
Na	۰,۰۲۵	۰,۰۲۲	۰,۰۲۳	۰,۰۱۳	۰,۰۲۳	۰,۰۱۴	۰,۰۲۱	
K	۰,۰۰۱	۰,۰۰۰	۰,۰۰۰	۰,۰۰۰	۰,۰۰۰	۰,۰۰۰	۰,۰۰۰	
جمع کاتیون‌ها	۴,۰۱۹	۴,۰۲۱	۴,۰۲۹	۴,۰۱۸	۴,۰۲۷	۴,۰۲۲	۴,۰۱۸	
Fs	۱۷,۳۸۱	۱۱,۴۱۳	۱۶,۱۹۱	۷,۷۷۲	۱۵,۵۵۷	۷,۹۶۳	۱۵,۱۲۴	
Wo	۴۲,۷۷۲	۴۴,۲۶۶	۴۰,۲۳۰	۴۶,۶۶۱	۴۱,۱۵۰	۴۵,۸۴۲	۴۱,۷۸۶	
En	۳۹,۶۴۷	۴۴,۳۲۱	۴۳,۵۷۸	۴۵,۶۶۷	۴۳,۲۹۴	۴۶,۱۹۶	۴۲,۰۹۰	



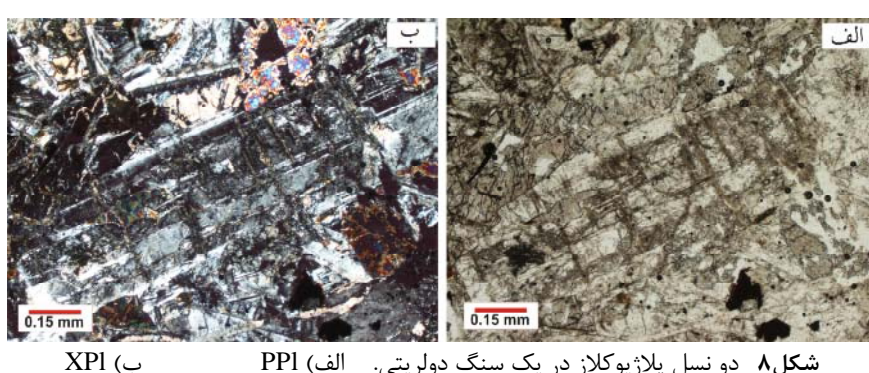
شکل ۷ نتایج تجزیه‌ای نقطه‌ای کلینوپیروکسن‌های سنگ‌های نیمه عمیق منطقه [۱۱]. الف) نمودار کوارتز - ژائیت - آکمیت . ب) نمودار کوارتز - ژائیت - زرده ب) برروی نمودار کوارتز - ژائیت - آکمیت .

مانده دارای ترکیب اولیگوکلاز ( $Ab_{84.4}An_{15.1}Or_{0.4}$ ) است (شکل ۹). این در حالی است که سنگ‌ها دارای ترکیب بازیک-اند و ترکیب معمول پلازیوکلاز در این نوع سنگ‌ها بیتونیت تا لایبرادر است که آنالیز نقطه‌ای (SEM) در یکی از نمونه‌ها نیز این ادعا را تصدیق می‌کند (شکل ۱۰). این امر نشان دهنده‌ی عملکرد فرآیند اسپیلیتی شدن در نمونه‌هاست که به خاطر ورود مقادیر زیادی سدیم از آب دریا موجب تغییر ترکیب سطح پلازیوکلاز و تبدیل آن به آنورتوکلاز ( $Ab_{87}An_{2.3}Or_{10.7}$ ) شده است. بدین ترتیب در این گروه از سنگ‌ها که دارای ترکیبی بازی (بر اساس آزمایش سنگ کل) هستند، پلازیوکلازها دارای ترکیب اولیگوکلاز تا آلبیت بوده که حاکی از تأثیر پدیده‌ی دگرنهادی سدیمی است. بر این اساس این واقعیت را می‌توان به عنوان مهر تأییدی بر عملکرد پدیده‌ی شکافته شدن سنگ‌های نیمه‌عمیق تلقی کرد [۶].

### پلازیوکلازها

بلورهای پلازیوکلاز به دو صورت فنوکریست با سطوح نسبتاً سالم تا سریستی و بلورهای ریز میکرولیتی در زمینه‌ی سنگ‌های نیمه‌عمیق دولریتی دیده می‌شوند. این حاکی از دو مرحله‌ای و طولانی بودن زمان تبلور سنگ‌های یاد شده است (شکل ۸). چنانکه در تصویر دیده می‌شود، پلازیوکلازهای فنوکریست دارای رخ‌های باریک مشخص و فاقد آثار دگرسانی گسترده‌اند، در حالی که میکرولیت‌های پلازیوکلاز زمینه‌ی به خاطر سطوح تماس بیشتر آن‌ها در برابر نفوذ گرمابی‌های در حال سریستی شدن هستند.

فنوکریست‌های پلازیوکلاز بر اساس نتایج ریزپردازندۀ‌ی الکترونی که در جدول (۳) ارائه شده است دارای ترکیب آلبیتی ( $Ab_{98.8}An_{0.9}Or_{0.3}$ ) بوده ولی حاشیه‌ی آن پیش از آلبیتی شدن بر اثر تعادل دوباره و واکنش با آبگون باقی



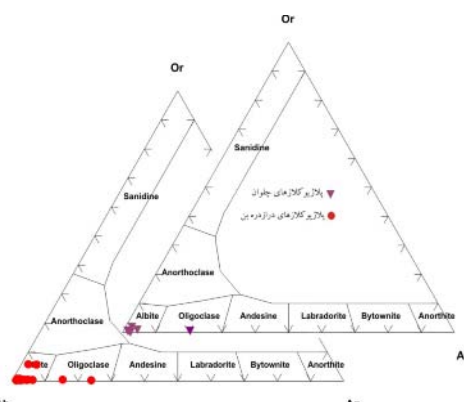
شکل ۸ دو نسل پلازیوکلاز در یک سنگ دولریتی. الف) PPI ب) XPI

جدول ۳ نتایج آنالیز ریزپردازندۀ الکترونی (EMPA) پلاژیوکلازهای دولریت‌های شمال شهرکرد.

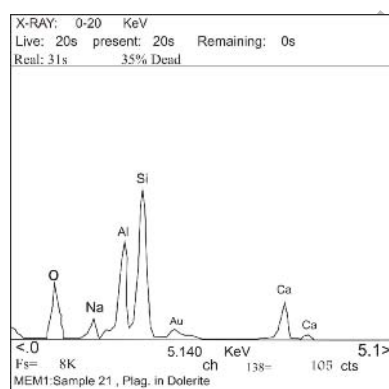
Sample	درازدۀ بن					
	PI243		PI306			
	PI1-1	PI1-2	PI1-1	PI1-11	PI2-3	PI3-3
SiO <sub>2</sub>	۶۷,۵	۶۶,۹۴	۶۷,۸۱	۶۴,۸۲	۶۸,۸۶	۶۸,۷۹
TiO <sub>2</sub>	۰,۰۰	۰,۰۰	۰,۰۰	۰,۰۲	۰,۰۰	۰,۰۳
Al <sub>2</sub> O <sub>3</sub>	۲۰,۳۵	۲۰,۲۲	۲۰,۲۵	۲۰,۸۴	۲۰,۸۹	۲۰,۰۰
FeO(t)	۰,۱۹	۰,۰۸	۰,۰۲	۰,۶۹	۰,۰۳	۰,۰۲
MnO	۰,۰۰	۰,۰۱	۰,۰۱	۰,۰۱	۰,۰۰	۰,۰۰
MgO	۰,۰۲	۰,۰۰	۰,۰۲	۰,۰۶	۰,۰۲	۰,۰۶
CaO	۱,۰۰	۰,۹۳	۰,۴۷	۳,۶۲	۰,۷۰	۱۱,۹۶
Na <sub>2</sub> O	۱۱,۴۶	۱۱,۳۵	۱۱,۷۱	۱۱,۱۵	۱۱,۰۲	۰,۰۶
K <sub>2</sub> O	۰,۰۸	۰,۰۷	۰,۰۸	۰,۰۹	۰,۰۸	۰,۱۰
Total	۱۰۰,۶۹	۹۹,۶۸	۱۰۰,۳۹	۱۰۱,۶۲	۱۰۱,۶۹	۱۰۱,۰۱۸
Si	۲,۹۴۸	۲,۹۴۸	۰,۹۶۰	۲,۸۴۹	۲,۹۵۹	۲,۹۷۹
Ti	۰,۰۰۰	۰,۰۰۰	۰,۰۰۰	۰,۰۰۱	۰,۰۰۰	۰,۰۰۱
Al	۱,۰۴۷	۱,۰۵۰	۱,۰۴۲	۱,۰۸۰	۱,۰۵۸	۱,۰۲۱
Fe	۰,۰۰۷	۰,۰۰۳	۰,۰۰۱	۰,۰۳۵	۰,۰۰۱	۰,۰۰۱
Mn	۰,۰۰۰	۰,۰۰۰	۰,۰۰۰	۰,۰۰۰	۰,۰۰۰	۰,۰۰۰
Mg	۰,۰۰۱	۰,۰۰۰	۰,۰۰۱	۰,۰۱۷	۰,۰۰۱	۰,۰۰۰
Ca	۰,۰۴۷	۰,۰۴۴	۰,۰۲۲	۰,۱۷۰	۰,۰۳۲	۰,۰۱۲
Na	۰,۹۷۱	۰,۹۶۹	۰,۹۹۱	۰,۹۵۰	۰,۹۱۸	۱,۰۰۴
K	۰,۰۰۵	۰,۰۰۴	۰,۰۰۴	۰,۰۰۶	۰,۰۰۵	۰,۰۰۳
جمع کاتیون‌ها	۵۰,۰۲۵	۵۰,۰۱۷	۵۰,۰۲۱	۵۰,۰۹۷	۴,۹۷۵	۵۰,۰۲۱
% An	۴,۶	۴,۳	۲,۲	۵۱,۱	۳,۴	۱,۲
% Ab	۹۴,۹	۹۵,۳	۹۷,۴	۰,۵	۹۶,۱	۹۸,۵
% Or	۰,۵	۰,۴	۰,۴	۸,۴	۰,۵	۰,۳

## ادامه جدول ۳

Sample	روستای چلوان				
	PI745				
	PI1-1	PI1-2	PI1-4	PI1-6	PI1-7
SiO <sub>2</sub>	۶۸,۶۷	۶۸,۳۵	۶۸,۷۰	۶۷,۷۵	۶۲,۹۲
TiO <sub>2</sub>	۰,۰۰	۰,۰۰	۰,۰۲	۰,۰۱	۰,۰۰
Al <sub>2</sub> O <sub>3</sub>	۲۰,۱۹	۲۰,۱۳	۲۰,۱۹	۲۰,۹۰	۲۰,۰۹
FeO(t)	۰,۰۳	۰,۱۳	۰,۰۲	۰,۴۶	۰,۷۶
MnO	۰,۰۱	۰,۰۱	۰,۰۲	۰,۰۲	۰,۰۴
MgO	۰,۰۰	۰,۰۸	۰,۰۰	۰,۰۱	۰,۰۱
CaO	۰,۳۸	۰,۳۶	۰,۳۱	۱,۷۱	۴,۲۳
Na <sub>2</sub> O	۰,۰۰	۰,۰۰	۰,۰۰	۰,۰۰	۰,۰۲
K <sub>2</sub> O	۱۱,۷۹	۱۱,۵۱	۱۱,۶۰	۱۱,۳۷	۹,۲۱
Total	۱۰۱,۲۰	۱۰۰,۷۰	۱۰۰,۹۸	۱۰۲,۳۴	۹۹,۴۸
Si	۲,۹۷۰	۲,۹۷۱	۲,۹۷۵	۲,۹۱۸	۲,۸۱۳
Ti	۰,۰۰۱	۰,۰۰۰	۰,۰۰۱	۰,۰۰۰	۰,۰۰۰
Al	۱,۰۲۹	۱,۰۳۱	۱,۰۳۱	۱,۰۶۱	۱,۱۸۴
Fe	۰,۰۰۱	۰,۰۰۵	۰,۰۰۱	۰,۰۱۷	۰,۰۲۸
Mn	۰,۰۰۰	۰,۰۰۱	۰,۰۰۱	۰,۰۰۱	۰,۰۰۲
Mg	۰,۰۰۰	۰,۰۰۵	۰,۰۰۰	۰,۰۰۰	۰,۰۰۱
Ca	۰,۰۱۸	۰,۰۱۷	۰,۰۱۴	۰,۰۷۹	۰,۲۰۲
Na	۰,۹۸۹	۰,۹۷۰	۰,۹۷۴	۰,۹۴۹	۰,۷۹۸
K	۰,۰۰۵	۰,۰۰۴	۰,۰۰۵	۰,۰۰۳	۰,۰۰۵
جمع کاتیون‌ها	۵۰,۰۱۲	۵۰,۰۰۳	۵۰,۰۰۱	۵۰,۰۳۰	۵۰,۰۱۵
% An	۱,۸	۱,۷	۱,۴	۷,۷	۲۰,۱
% Ab	۹۷,۷	۹۷,۹	۹۸,۱	۹۲,۰	۷۹,۸۴
% Or	۰,۵	۰,۴	۰,۵	۰,۳	۰,۵



شکل ۹ محل قرارگیری پلازیوکلазهای دولریت‌های منطقه روی نمودار [۱۷] An, Ab, Or.



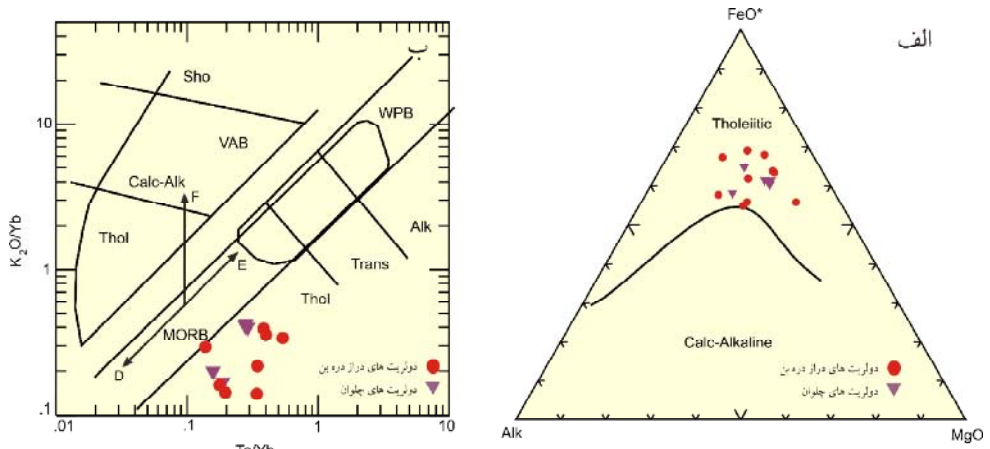
شکل ۱۰ نمودار تجزیه‌ی یک پلازیوکلاز از نوع بیتونیت در دولریت.

در سنگ‌ها که معمولاً به عنوان گنجینه‌ای از گذشته‌ی سنگ تلقی کرد استفاده نمود. ترکیب کلینوپیروکسن‌ها به ترکیب شیمیایی و محیط تشکیل سنگ بستگی دارد و به همین دلیل به عنوان یک معیار مناسب برای تعیین محیط زمین‌ساختی تشکیل سنگ‌ها مورد استفاده قرار می‌گیرد. براساس شکل ۱۲-الف) که برای تعیین سری‌های ماگمایی به کار برد شده، می‌توان دریافت که تمامی نمونه‌ها در گستره‌ی بازالت‌های تولئیتی قرار دارند. به منظور تعیین محیط زمین‌ساختی سنگ‌های نیمه‌عمیق منطقه از نمودار  $TiO_2-Na_2O-SiO_2$  استفاده شد. چنانکه در شکل (۱۲-ب) دیده می‌شود، تمامی نمونه‌ها در محیط مورب قرار گرفته‌اند و این نشان می‌دهد که توده‌های نیمه‌عمیق با ماهیت مورب حاصل کشش و ماگماتیسم درون صفحه‌ای هستند، در حالی که مجموعه سنگ‌های آتشفسانی منطقه در یک محیط زمین‌ساختی جزیره‌ی قوسی (فرورانش) تشکیل شده‌اند [۱۵]. بدین ترتیب از دیدگاه خاستگاه و ویژگی‌های تکتونوماگمایی می‌توان سنگ‌های نیمه‌عمیق را به محیط کششی دنباله‌ی فرورانش وابسته دانست.

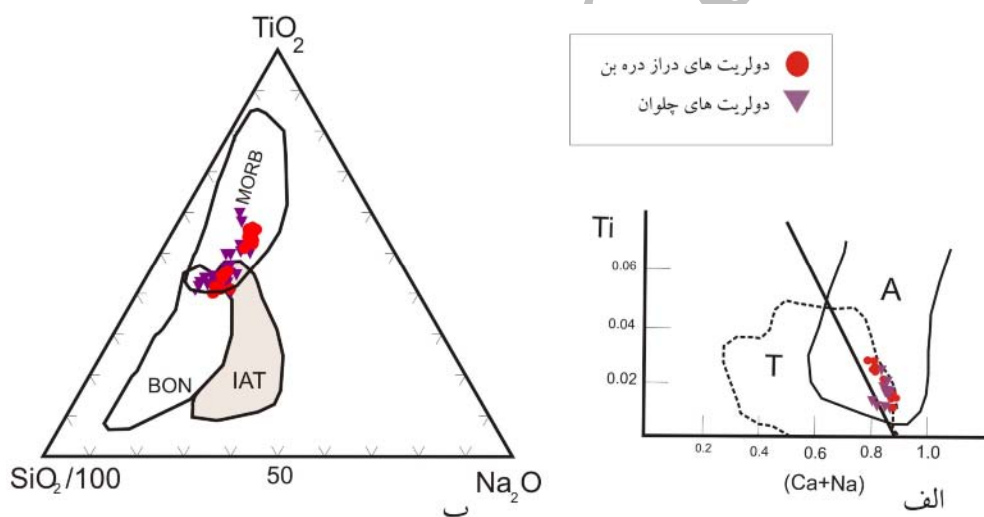
**تعیین محیط زمین‌ساختی منطقه کمریند سنگ‌های آتشفسانی - رسوبی شمال شهرکرد به عنوان نماینده‌ای از آتشفسان ژوراسیک زون سنندج - سیرجان در یک جزیره‌ی قوسی است که حاصل فرورانش پوسته‌ی اقیانوسی نئوتیس به زیر پهنه‌ی سنندج - سیرجان است که زاویه‌ی فرورانش آن حدود  $45^{\circ}$ ، شمال شرقی، فاصله‌ی افقی کمریند تا خط برخورد حدود ۳۵ کیلومتر و بر مکان کنونی گسل وارون زاگرس است. زمان این رخداد فرورانش بر تریاس قرار دارد [۱۲-۱۵]. در خصوص توده‌های نیمه‌عمیق بازی نیز با توجه به قرارگیری این سنگ‌ها در مجموعه‌ی آتشفسانی بازی منطقه می‌توان پیدایش آن‌ها را به یک حوضه‌ی گسترش پشت کمانی نسبت داد [۶].**

چنانکه از شکل (۱۱) پیدا است، بر اساس تحلیل نتایج تجزیه سنگ‌های دولریتی مورد بررسی به روش ICP-MS و ICP-ES، این سنگ‌ها ماهیت تولئیتی داشته و در محیطی مورب تشکیل شده‌اند.

علاوه بر استفاده از ترکیب سنگ کل در تعیین محیط تکتونوماگمایی سنگ‌ها، از نتایج تجزیه‌ی نقطه‌ای کلینوپیروکسن‌ها، نیز می‌توان به عنوان کانی‌های سالم موجود



شکل ۱۱ (الف) مقایسه‌ی بین سری‌های ماقمایی نمونه‌ها در نمودار AFM [۱۶]، (ب) نمودار تمایز کننده بازالت‌ها براساس  $K_2O/Yb - Ta/Yb$  [۱۷].



شکل ۱۲ (الف) استفاده از کانی کلینوپیروکسن برای تعیین سری ماقمایی [۱۸]، (ب) تعیین محیط زمین ساختی تشکیل سنگ‌های نیمه عمیق با استفاده از ترکیب کلینوپیروکسن ها [۱۹].

پدیده‌ی آتشفشاری در این منطقه به فاز کوهزایی سیمیرین میانی نسبت داده شده است [۶].

ترکیب کلینوپیروکسن‌ها در سنگ‌های نیمه عمیق منطقه اوژیت و دیوپسید بوده که علاوه بر تشکیل کانی‌های مستقل، به صورت نوسانی در برخی از سنگ‌های دولریتی مشاهده می‌شوند و بر این اساس پیشنهاد می‌شود که کلینوپیروکسن‌های موجود در سنگ‌های آتشفشاری شمال شهرکرد را اوژیت دیوپسیدی بنامیم. ترکیب بلورهای پلازیوکلاز سالم غالباً بیتونیت و در سنگ‌های کمی دگرسان شده، از آبیت تا الیگوکلاز در نوسان است که با توجه به ترکیب بازی سنگ‌های منطقه، حکایت از عملکرد گسترده پدیده‌ی متاسوماتیسم

برداشت  
مجموعه‌ی آتشفشاری - رسوی شمال شهرکرد به صورت کمرنگی با کشیدگی شمال غربی - جنوب شرقی در مساحتی بالغ بر ۲۰۰ کیلومتر مربع تقریباً به موازات زون ساختاری و گسل زاگرس استقرار یافته است. رنگ سبز حاکم بر کلیه واحدهای سنگ‌شناسی منطقه ناشی از حاکمیت محیط احیای زیر آبی است. غیر از بخش‌های جنوبی دراز دره بن که آثار آتشفشاری هوایی دیده می‌شود، بقیه مجموعه‌ی مورد بررسی در یک محیط زیر دریایی کم عمق تا نیمه عمیق همراه با رسوپهای آواری شامل سیلت سنگ و ماسه سنگ فوران کرده‌اند.

*rocks based on total alkali-cilica diagram, Journal of petrology", (1986), 27: 745-750.*

[10] Richard Linda. R., (2002) , Minpet 2002 Software.

[11] Morimoto N., Fabrise J., Ferguson A., Ginzburg I. V., Ross M., Seifert F.A., Zussman J., Akoi K., Gottardi G., "Numenclature of pyroxenes" , Mineralogical Magazine, 52:(1988) 535-55.

[12] Deer W.A., Howie R.A., Zussman J., "An Introduction to the Rock – forming minerals" , Longman, London, (1991) 528p.

[13] Ghasemi A., Talbot C.J., "A new tectonic scenario for the Sanandaj - Sirjan zone (Iran)", Journal of Asian Earth Sciences, 26 (6), (2006) 683-693.

[14] Mohajjal M., Fergosen C.L., "Dexteral transpression in Late Cretaceous continental collision, Sanandaj - Sirjan zone, Western Iran" Journal of Structural Geology, 22 (8), (2000) 1125 - 1139.

[15] مجل م.، سهندی م.ر، " تکامل تکتونیکی پهنه سنتدج - سیرجان در نیمه شمال باختری و معرفی زیر پهنه های جدید در آن" ، فصلنامه علوم زمین، شماره ۳۱ (۱۳۷۸).

[16] Irvine T.N., W.R.A.Barager., " A guide to the chemical classification of the common volcanic rocks", Canadian Journal of Earth Sciences, vol.8, (1971) pp.523-548.

[17] Wood D.A., "The application of a Th-Hf-Ta diagram to problems of tectonomagmatic classification and to establishing the nature of crustal contamination of basaltic lavas of the British Tertiary volcanic province", Earth and Planetary Science Letters ( 1980) vol.50, pp.11-30.

[18] رولینسون .ه، "کاربرد داده های ژئوشیمیایی (ارزیابی، نمایش، تفسیر)" ترجمه علیرضا کریم زاده ثمرین، انتشارات دانشگاه تبریز، (۱۹۸۳) صفحه ۵۵۷.

[19] Kenan M., Cemal M., "Cilinopyroxene compositions of the Isotropic Gabbros from the Sarikaraman Ophiolite: New evidence on Supra-Subduction Zone Type Magma Genesis in Central Anatolia" , Turk, J Earth sci, 8 (1999) 103-111.

سدیمی و در نتیجه آن، اسپیلیتی شدن این سنگ‌ها در یک محیط دریایی دارد. ترکیب شیمیایی کلینوپیروسن‌ها نشانگر محیط تولیتی برای سنگ‌های نیمه عمیق مورد بررسی است. بر پایه‌ی این نمودارها محیط زمین‌ساختی مؤثر در شکل‌گیری دولریت‌ها می‌تواند یک محیط کششی پس از فروزانش باشد. به دلیل نفوذ سنگ‌های نیمه عمیق مورد بررسی در واحدهای آتشفسانی منطقه، پدیده‌ی ماقماتیسم مورد بررسی که به صورت نفوذ دایک‌های دولریتی عمل کرده را می‌توان به فاز کوهزایی سیمرین میانی تا فوقانی به سن ژوراسیک فوقانی تا آغاز کرتاسه نسبت داد.

#### مراجع

- [۱] آقا نباتی س.ع، "زمین شناسی ایران" ، انتشارات سازمان زمین شناسی و اکتشافات معدنی کشور، (۱۳۸۵) ۵۸۶ صفحه.
- [۲] درویش زاده ع، "زمین شناسی ایران" ، انتشارات امیر کبیر، (۱۳۸۰) ۹۰۱ صفحه.
- [۳] زاهدی م، "گزارش و نقشه زمین شناسی اصفهان (مقیاس ۱:۲۵۰۰۰)" ، سازمان زمین شناسی کشور، (۱۳۵۷).
- [۴] زاهدی م، "گزارش و نقشه زمین شناسی شهرکرد (مقیاس ۱:۲۵۰۰۰)" ، سازمان زمین شناسی کشور، (۱۳۷۲).
- [۵] امامی ن، "زمین شناسی و پترولوزی سنگ های آتشفسانی شمال شهرکرد" ، پایان نامه کارشناسی ارشد پترولوزی، دانشگاه اصفهان، (۱۳۷۵) ۲۵۵ صفحه.
- [۶] امامی ن، "بررسی های پترولوزیکی با تأکید بر پهنه های دگرسانی در سرزمین آتشفسانی شمال شهرکرد" ، پایان نامه دکتری پetroلوزی، دانشگاه اصفهان، (۱۳۸۷) ۲۶۶ صفحه.
- [۷] Soder P. A., "Contribution to the geology of the Isfahan – Gavkhuni area " , NOIC. A., Geological Report, NO. 110 (1954)
- [۸] قاسمی ا، حاج حسینی ا، حسینی م، "نقشه زمین شناسی چادگان (مقیاس ۱:۱۰۰۰۰)" ، سازمان زمین شناسی کشور، (۱۳۸۵).
- [۹] Le Bas M.J., Le Maitre, R.W. Streckeszen. Al, Zanettin B., "A chemical classification of volcanic